



بررسی قوانین هم راستایی و ترکیب ترک های مجاور هم

علی عباسزاده بیدختی^۱، امیر رضا شاهانی^{۲*}

۱- دانشجوی دکترای مهندسی مکانیک، دانشگاه صنعتی خواجه نصیر الدین طوسی، تهران

۲- استاد، مهندسی مکانیک، دانشگاه صنعتی خواجه نصیر الدین طوسی، تهران

* تهران، صندوق پستی ۱۹۹۵-۱۳۹۵، shahani@kntu.ac.ir

چکیده

عیوب چندگانه اغلب در سازه های مهندسی نظیر اجزای نیروگاهها و مخازن تحت فشار اتفاق می افتد. این عیوب در برخی موارد، اثرات مخرب بیشتری نسبت به هر کدام از عیوب به صورت جداگانه دارد. ارزیابی برهم کنش این ترک ها بر اساس تعیین هم راستایی و ترکیب آن ها صورت می پذیرد. در استانداردهای موجود، ترک های چندگانه در مجاورت هم با ارضکاردن شرایط لازم هم راستایی شده و در صورت لزوم ترکیب می شوند. در پژوهش حاضر، ابتدا قوانین هم راستایی و ترکیب استانداردهای مختلف برای دو ترک را مادر مجاور هم بررسی می شود. سپس برای بررسی تأثیر و برهم کنش ترک های مجاور، شکست یک ورق با دو ترک را مادر در مجاورت هم، شبیه سازی شده و تأثیر فواصل ترک ها و اندازه آن ها بر ضرایب شدت تنش بررسی می شود. همچنین چگونگی رشد ترک ها در حالت های مختلف تحت شرایط شکست الاستیک خطی، شبیه سازی می شود. از روش المان محدود توسعه یافته برای شبیه سازی مسئله استفاده شده است. این روش به این دلیل انتخاب شده که توانایی مناسبی در تحلیل مسائل مکانیک شکست خطی و فرایند رشد ترک، دارد. در این روش، المان بنده ثابت بوده و نیاز به فرایند مش بندی مجدد جهت شبیه سازی رشد ترک وجود ندارد. بر اساس نتایج بدست آمده، قوانین جدیدی جهت تعیین هم راستایی و ترکیب ترک های مجاور هم ارائه می شود.

اطلاعات مقاله

مقاله پژوهشی کامل

دریافت: ۲۷ مهر ۱۳۹۳

پذیرش: ۲۸ آبان ۱۳۹۲

ارائه در سایت: ۳۱ خرداد ۱۳۹۳

کلیل و ازکان:

ترک های مجاور هم

قوانین هم راستایی و ترکیب

رشد ترک

مکانیک شکست خطی

روش المان محدود توسعه یافته

Study and analysis of alignment and combination rules for offset cracks

Ali Abbaszadeh Bidokhti¹, Amir Reza Shahani^{2*}

1- Department of Mechanical Engineering, Khajeh Nasir Toosi University of Technology, Tehran, Iran.

2- Department of Mechanical Engineering, Khajeh Nasir Toosi University of Technology, Tehran, Iran.

*P.O.B. 19395-1999 Tehran, shahani@kntu.ac.ir

ARTICLE INFORMATION

Original Research Paper

Received 19 October 2013

Accepted 19 November 2013

Available Online 21 June 2014

Keywords:

Offset Cracks

Alignment and Combination Rules

Crack Growth

Linear Elastic Fracture Mechanics

Extended Finite Element Method

ABSTRACT

Multiple flaws are frequently occurred in actual components, such as pressure vessels and power plants. These flaws will in some circumstances lead to more severe effects than single flaw alone. Assessment of the interaction behavior is based on an evaluation of the alignment and combination of these multiple flaws. In the current standards, multiple cracks are treated as an equivalent single crack if the distance between two cracks satisfies a prescribed criterion. First, this study introduces the current alignment and combination rules for through cracks. Following to investigate the effects of the interaction of cracks, brittle fracture of a plate containing two adjacent cracks is simulated. The effect of cracks distances and crack lengths on stress intensity factors is evaluated. Also, crack growth analysis is simulated based on linear elastic fracture mechanics approach. The extended finite element method has been utilized to model the problem. This method enables the domain to be modeled by finite elements without explicitly meshing the crack surfaces, and hence crack propagation simulations can be carried out without remeshing. Based on the results, a new alignment and combination rule is proposed.

۱- مقدمه

سازه های مهندسی ممکن است دارای ناقیصی باشند که معمولاً در طول فرایند ساخت قطعات و یا در طی عمر کاری آن ها ایجاد شوند. برای جلوگیری از شکست قطعات در طی کارکرد، این ناقیص به خصوص ناقیص از نوع ترک، باید ارزیابی شوند. چنان چه ترکی در قطعه مشاهده شود، معمولاً بر اساس یک استاندارد مهندسی یا تحلیل های نرم افزاری، باید مشخص شود که آیا قطعه می تواند به کارکرد خود ادامه دهد و یا باید تعویض شود. در پیش از موارد واقعی، با چندین نقص یا عیوب مواجه می شویم.

در نظر گرفتن عیوب چندگانه در طراحی سازه ها، تبدیل به یک موضوع با

1- Alignment

2- Combination

Please cite this article using:

A. Abbaszadeh Bidokhti, A.R. Shahani, Study and analysis of alignment and combination rules for offset cracks, *Modares Mechanical Engineering*, Vol. 14, No. 5, pp. 91-101, 2014 (In Persian)

برای ارجاع به این مقاله از عبارت ذیل استفاده نمایید:

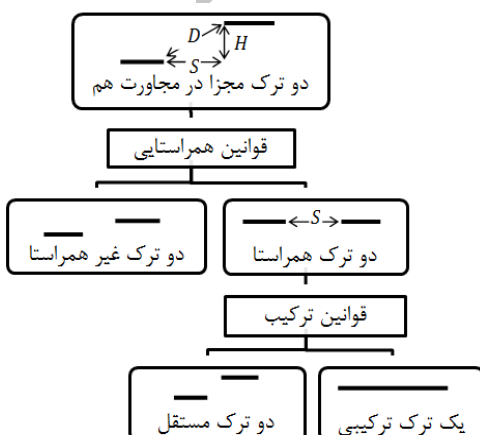
www.modares.ac.ir

شد، معمولاً برای ترکهایی که در صفحات جداگانه قرار می‌گیرند، ابتدا هم راستایی آنها بررسی می‌شود و در صورت ارضا کردن شرایط استاندارد، بر یک سطح مقطع در نظر گرفته می‌شوند. سپس برای ترکهای مجاور هم بر یک صفحه، قوانین ترکیب اعمال می‌شود تا در صورت لزوم ترکیب شوند. در صورت عدم ارضا شرایط، هر ترک به صورت جداگانه باید در نظر گرفته شود. این روند در شکل ۱ به صورت شماتیک نشان داده شده است.

قوانین هم راستایی و ترکیب ترکهای مجاور هم در استانداردهای مختلف توسط روابطی ارائه شده است. خلاصه‌ای از این شرایط در جدول ۱ فراهم شده است. همان طور که از جدول ۱ مشاهده می‌شود، شروط هم راستایی و ترکیب ترکهای مجاور هم در استانداردهای مختلف، متفاوت است. برای نمونه، در مورد شروط هم راستایی در برخی استانداردها، فاصله عمودی دو ترک با یک عدد ثابت سنجیده می‌شود. در برخی دیگر از استانداردها، فاصله عمودی دو ترک با نسبتی از طول ترکها و در برخی دیگر، فاصله مستقیم بین دو ترک با عبارتی از طول ترکها سنجیده می‌شود (این پارامترها در شکل ۲ نشان داده شده‌اند). همچنین قوانین بالا در طول زمان در ویرایش‌های مختلف استانداردهای فوق، مورد بازنگری قرار گرفته است. به دلیل این که معمولاً در ویرایش‌های اولیه استانداردهای فوق، این‌منی قطعات و سازه‌ها مورد توجه بوده و معمولاً قوانین محافظه‌کارانه‌ای ارائه شده است. این قوانین محافظه‌کارانه در برخی موارد سبب افزایش هزینه‌های بازرگانی و تعویض قطعات می‌شود. با پیشرفت ابزارهای تحلیل مهندسی و افزایش قابلیت اطمینان تحلیل‌ها، در قوانین استانداردهای فوق نیز بازنگری صورت گرفته تا با حفظ این‌منی، بتوان از قطعات و سازه‌ها در بازه زمانی بیشتری بهره‌برداری کرده و هزینه تعویض و نگهداری قطعات را کاهش داد.^[۱۲]

با توجه به موارد یاد شده، در سال‌های اخیر پژوهش‌هایی بر تأثیر ترکهای چندگانه بر یکدیگر انجام شده است. در این موارد، اشکال مختلف ترک در مجاورت هم و تحت بارگذاری‌های مختلف با استفاده از روش‌های گوناگون تحلیل شده‌اند. همچنین شکست قطعات در حالت الاستیک (شکست ترد)، الاستیک-پلاستیک (شکست نرم) و تحلیل بار حدی شکست مورد بررسی قرار گرفته است.

کونوسو^[۱۳] با استفاده از روش نیروی جسمی، تأثیر دو ترک غیریکسان نیمه‌بیضوی در حالت شکست الاستیک را بررسی کرده و برای هم راستایی آنها قوانینی ارائه کرده است. همچنین کونوسو و کاساهارا^[۱۴] همین مسئله را تحت نیروی خستگی مورد بررسی قرار داده‌اند.



شکل ۱ روند چگونگی برخورد با ترکهای در مجاور هم

می‌گیرند، ابتدا هم راستایی آنها بررسی می‌شود. برای فواصلی کمتر از فاصله بحرانی، این مقایص باید بر یک سطح مقطع، هم راستا در نظر گرفته شوند. سپس برای عیوب هم صفحه، برهم‌کنش هر نقص با مقایص مجاور آن مورد ارزیابی قرار گیرد و براساس اندازه مقایص مجاور، قوانین ترکیب عیوب اعمال شود. این رویه، منجر به در نظر گرفتن اثرات برهم‌کنش عیوب چندگانه و طراحی این سازه‌ها می‌شود.

در سال‌های اخیر، استانداردهای مختلف، قوانینی برای در نظر گرفتن عیوب چندگانه در مجاور هم ارائه داده‌اند. این استانداردها بهخصوص در طراحی قطعات و مخازن نیروگاه‌های انتی و سازه‌های هوایی مورد توجه بوده‌اند. در این استانداردها معمولاً عیوب را به شکل ترک در نظر می‌گیرند و ترکهای چندگانه در مجاورت هم با ارضاکردن شرایط مجاور مورد اشاره در استاندارد مربوطه، هم راستا شده و در صورت لزوم ترکیب می‌شوند، یعنی به صورت یک ترک بزرگ‌تر در نظر گرفته می‌شوند. در صورتی که شرایط لازم ارضا نشود، هر ترک باید به صورت جداگانه در نظر گرفته شود. از جمله این استانداردها می‌توان به موارد زیر اشاره کرد: استاندارد انجمن مهندسان مکانیک آمریکا بخش یازدهم^[۱]، استاندارد انجمن مهندسان مکانیک ژاپن^[۲]، استاندارد بریتانیا^[۳]، استاندارد مؤسسه نفت و پتروشیمی آمریکا^[۴]، استاندارد انجمن مهندسی جوش ژاپن^[۵]، استاندارد چین^[۶]، استاندارد اتحادیه اروپا^[۷]، استاندارد سازمان انرژی اتمی فرانسه^[۸]، استاندارد آلمان^[۹]، استاندارد انجمن طراحی و ساخت قطعات نیروگاه‌های اتمی فرانسه^[۱۰]، استاندارد وزارت انرژی بریتانیا^[۱۱].

پس از ارزیابی اندازه اولیه ترک‌ها با استفاده از روش‌های ارزیابی غیرمخرب، شرایط استاندارد و تعیین هم راستایی و ترکیب و یا عدم هم راستایی و ترکیب ترک‌های در مجاورت هم، براین ترک‌ها اعمال می‌شود و سپس، تخمین عمر باقی‌مانده قطعه و بررسی شکست قطعه و رشد ترک با استفاده از ترک‌های جدید، تحلیل می‌شود. بنابراین قوانین هم راستایی و ترکیب ترک‌های مجاور هم، در تعیین شرایط کارکرد و یا تعویض قطعه و همچنین کارکرد این قطعه نقش دارد.

در پژوهش حاضر، ابتدا قوانین هم راستایی و ترکیب استانداردهای مختلف برای دو ترک را بدبر مجاور هم بررسی می‌شود. سپس برای بررسی تأثیر و برهم‌کنش ترک‌های مجاور، شکست یک ورق با دو ترک را بدبر در مجاورت هم، شبیه‌سازی شده و تأثیر فواصل ترک‌ها و اندازه آنها بر ضرایب شدت تنش بررسی می‌شود. همچنین چگونگی رشد ترک‌ها و مسیرهای رشد ترک در حالت‌های مختلف تحت شرایط شکست الاستیک خطی، شبیه‌سازی می‌شود. از روش المان محدود توسعه یافته^۱ برای شبیه‌سازی مسئله استفاده شده است. این روش به این دلیل انتخاب شده که توانایی مناسبی در تحلیل مسائل مکانیک شکست خطی و شبیه‌سازی فرآیند رشد ترک، دارد. در این روش، المان‌بندی ثابت بوده و نیاز به فرایند مشبندی مجدد جهت شبیه‌سازی رشد ترک وجود ندارد.

پس از انجام تحلیل‌های مختلف، براساس نتایج به دست آمده، قوانین جدیدی جهت تعیین هم راستایی و ترکیب ترک‌های مجاور هم ارائه می‌شود.

۲- بررسی استانداردهای موجود و پژوهش‌های انجام شده

با توجه به اهمیت در نظر گرفتن اثرات برهم‌کنش ترک‌های مجاور در طراحی سازه‌ها، استانداردهای مختلف، شرایط مختلفی برای بررسی هم راستایی و ترکیب ترک‌های مجاور هم ارائه داده‌اند. همان‌گونه که در قسمت مقدمه یاد

جدول ۱ قوانین هم راستایی و ترکیب دو ترک مجاور هم در استانداردهای مختلف*

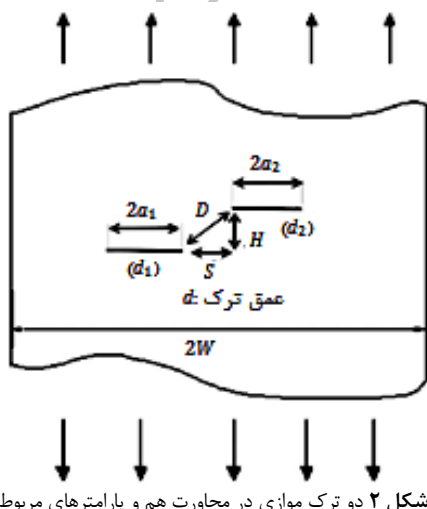
استاندارد	شرط هم راستایی	شرط ترکیب
انجمن مهندسان مکانیک آمریکا (ASME)	$H \leq 12.5 \text{ mm}$	$S \leq \max(2a_1, 2a_2)$
انجمن مهندسان مکانیک ژاپن (JSME)	$H \leq 10 \text{ mm if } S \leq 5 \text{ mm}$ $H \leq 2S \text{ if } S > 5 \text{ mm}$ $H \leq 12.5 \text{ mm}$ شکست:	$S \leq \max(2a_1, 2a_2)$
مؤسسه نفت و پتروشیمی آمریکا (API 579)	$S < 0: H \leq (a_1 + a_2)$ $S > 0: H \leq (a_1 + a_2) \& S \leq (a_1 + a_2)$	$S \leq a_1 + a_2$
استاندارد بریتانیا (BS 7910)	$H \leq 0.5 \min(2a_1, 2a_2)$	$S \leq \min(2a_1, 2a_2)$
انجمن مهندسی جوش ژاپن (WES 2805)	$H \leq \min(2a_1, 2a_2)$	$S \leq \max(2a_1, 2a_2)$
استاندارد چین (GB/T 19624)	$D \leq (a_1 + a_2)$	$S \leq \min(2a_1, 2a_2)$
وزارت انرژی بریتانیا (R6)	$D \leq (a_1 + a_2)$	$S \leq \min(2a_1, 2a_2)$
سازمان انرژی اتمی فرانسه (A16)	$D \leq (a_1 + a_2)$	$S \leq \min(2a_1, 2a_2)$
استاندارد آلمان (FKM)	$D \leq (a_1 + a_2)$	$S \leq \min(2a_1, 2a_2)$
انجمن طراحی و ساخت قطعات نیروگاههای اتمی فرانسه (RSE-M)	براساس تداخل مستطیل های برهمن کشش	براساس تداخل مستطیل های برهمن کشش
استاندارد اتحادیه اروپا (FITNET)	$H \leq \min(2a_1, 2a_2)$	$S \leq \min(2a_1, 2a_2)$

*- فاصله مستقیم دو ترک، H فاصله خارج دو صفحه ترک و S فاصله داخل صفحه دو ترک (مطابق شکل ۳) است.

تجربی نیز موجود است [۱۶]. ورق فوق از جنس فولاد کربنی SM 400A در دمای ۱۹۶ °C - تست شده تا شرایط شکست الاستیک خطی فراهم شود. تنش تسییم و استحکام کششی فولاد مذبور برابر ۴۰۴ و ۴۴۹ مگاپاسکال است. چقزمگی شکست ماده مذبور توسط تست نمونه فشرده کششی به دست آمده و برابر $K_{IC} = 28.2 \text{ MPa}\sqrt{\text{m}}$ است.

در تست های تجربی انجام شده، صفحه مورد نظر تحت بار کششی استاتیکی در دو انتهای ورق قرار می گیرد. بارگذاری به آرامی افزایش می یابد تا شکست ورق رخ دهد. بار شکست قطعه و مسیر رشد ترک در نمونه های مختلف ثبت شده است. تست های انجام شده بر پایه قطعه انجام شده و نتایج آنها در جدول ۲ ارائه شده است. در این تست ها بار شکست قطعه و چگونگی مسیر رشد دو ترک، ثابت گردیده است. در مورد بار شکست قطعات، پراکندگی زیادی وجود دارد، ولی از طریق مسیر رشد دو ترک و بهم پیوستگی آنها یا عدم پیوستگی آنها در طی بارگذاری استاتیکی، به عنوان معیار هم راستایی دو ترک، نتیجه گیری شده است.

برای تحلیل دقیق تر مسئله و بررسی پارامترهای مختلف، تحلیل مکانیک شکست و رشد ترک در مسئله، با استفاده از روش المان محدود توسعه یافته انجام شده است. این روش به این دلیل انتخاب شده که توانایی مناسبی در تحلیل مسائل مکانیک شکست خطی و شبیه سازی فرایند رشد ترک، دارد.



شکل ۲ دو ترک موازی در مجاورت هم و پارامترهای مربوط

هاسگاوا و همکارانش [۱۵] براساس انجام تست هایی در حالت شکست الاستیک، تأثیر دو ترک را بدین در نزدیک هم را مورد بررسی قرار داده و قوانین برای هم راستایی این ترک ها را ارائه داده اند. کارپیتری و همکارانش [۱۷]

[۱۷] تأثیر دو ترک هم صفحه نیمه بیضوی یکسان در یک ورق تحت کشش را با استفاده از تحلیل عددی بررسی کرده اند. ایشان اثر فاصله دو ترک و شکل ترک ها بر مقدار ضریب شدت نتش را تعیین کرده اند. ژوان و همکارانش [۱۸]

[۱۸] تأثیر دو ترک را بدین در مجاورت هم تحت شرایط خوش را مورد بررسی قرار داده و با تحلیل مکانیک شکست، براساس تأثیر دو ترک قوانینی برای هم راستایی این ترک ها عرضه کرده اند.

میازاکی و همکارانش [۱۹] تست هایی را بر نمونه های ورق نرم با

ترک های چندگانه را بدین انجام دادند. آنها با شکست قطعات، شکل رشد ترک های مجاور و بارهای شکست آنها را مورد بررسی قرار داده و با مقایسه آنها با شرایط برخی استانداردها، قوانین جدیدی برای هم راستایی در حالت شکست پلاستیک ارائه داده اند. آنها همچنین تست های مشابهی را بر

لوههایی با دو ترک نزدیک به هم انجام داده و شکست نرم آنها را بررسی کرده و بر اساس نتایج تست، کارایی استانداردهای مختلف را مورد ارزیابی قرار دادند [۲۰]. ساگا و همکارانش [۲۱] با استفاده از روش المان محدود آسیب و بهره گیری از المان محدود، تست های مرتع ۱۶ را شبیه سازی کرده و با نتایج

تفاوتی را بر حسب تغییر مکان را با نتایج تست مقایسه کردن. کیم و همکارانش [۲۲] شکست نرم لوله های فولادی دارای دو ترک سطحی نزدیک به هم را با استفاده از مدل المان محدود سه بعدی تحلیل کرده اند. از روش مکانیک آسیب برای شبیه سازی استفاده شده و بار شکست قطعات تعیین شده و با نتایج تست مقایسه شده است.

کاماپا [۲۳] با استفاده از روش المان محدود، شکست نرم لوله های دارای ترک های سطحی محیطی نزدیک به هم را مورد تحلیل قرار داده و براساس بار حدی تعیین شده، قوانین جدیدی برای ترک ارائه کرده است.

۳- تحلیل شکست ورق با دو ترک در مجاورت هم

مسئله مورد بررسی یک ورق مستطیل شکل با دو ترک موازی در مجاورت هم تحت کشش است. طول این ورق برابر ۸۰۰ میلی متر، عرض ورق برابر ۱۶۰ میلی متر و ضخامت ۵/۷ میلی متر است. ورق دارای دو ترک را بدین موzaزی در وسط ورق است (شکل ۳). برای ورق با مشخصات فوق، نتایج تست های

$$u^{std} = \sum_{i \in S} N_i(x) u_i \quad (2)$$

که در آن S مجموعه گرههای شبکه، $(x)_i$ توابع شکل مربوط به گره i است که داریم $N_i(x_i) = \delta_{ij}$ ، x_i مختصات گره i م، u_i مختصات گرهای در گره i است.

در روش المان محدود توسعه یافته، بر حسب نوع ناپیوستگی یک تابع ناپیوسته بر المان مدل می‌شود. از برآیند این میدان ناپیوسته و میدان پیوسته به دست آمده از تقریب استاندارد، میدان ناپیوسته موردنظر به دست می‌آید. اضافه کردن این تابع ناپیوسته با استفاده از روش تقسیم‌بندی واحد انجام می‌گیرد. عموماً برای تابع شکل در قسمت غنی شده از همان تابع قسمت استاندارد استفاده می‌شود.

$$u(x) = \sum_{i \in S} N_i(x) u_i + \sum_{j \in S^{enr}} N_j(x) \Psi(x) a_j \quad (3)$$

که S^{enr} مجموعه گرههای غنی شده است. Ψ تابع غنی‌سازی یا تابع اضافی و a_j مجهولات اضافی است.

غنی‌سازی در روش المان محدود توسعه یافته به صورت موضعی انجام می‌گیرد. یعنی غنی‌سازی در هر المان به صورت مستقل و تنها با توجه به وضعیت مرز ناپیوستگی درون همان المان انجام می‌شود. برای غنی‌سازی گرههایی که ترک تکیه‌گاه آن‌ها را قطع می‌کند و همچنین تکیه‌گاه آن‌ها رئوس ترک را در برندارد، از تابع هویسايد برای غنی‌سازی تقریب جایه‌جایی استاندارد استفاده می‌شود. برای گرههایی که تکیه‌گاه آن‌ها رأس ترک را در بردارد، چنان‌چه رئوس ترک داخل المان قرار گیرد، باید از تابع انشعاب برای غنی‌سازی این گرههای استفاده شود تا ناکرانداری کرنش در نزدیک رئوس ترک به خوبی مدل گردد. این تابع، با استفاده از حل‌های تحلیلی برای حالات‌های ترک خاص به دست آمداند.

ماده درنظرگرفته شده در تحلیل‌های انجام‌شده، ماده الاستیک خطی است. مسائل به صورت دو بعدی (تشنصفهای) مدل گردیده‌اند. با توجه به موارد فوق برای مدل‌سازی به روش المان محدود توسعه یافته، میدان جایه‌جایی به صورت رابطه (4) درنظر گرفته شده است.

$$u(x) = \sum_{i \in I} N_i(x) u_i + \sum_{j \in J} N_j(x) H(x) a_j + \sum_{k \in K_1} N_k(x) \left(\sum_{l=1}^4 F_l^1(x) b_k^{l1} \right) + \sum_{k \in K_2} N_k(x) \left(\sum_{l=1}^4 F_l^2(x) b_k^{l2} \right) \quad (4)$$

که $H(x)$ تابع هویسايد (تابع غنی‌ساز در گرههای المان‌های کاملاً برش خورده) است. تابع غنی‌ساز گرههای نزدیک رأس ترک به صورت رابطه (5) است.

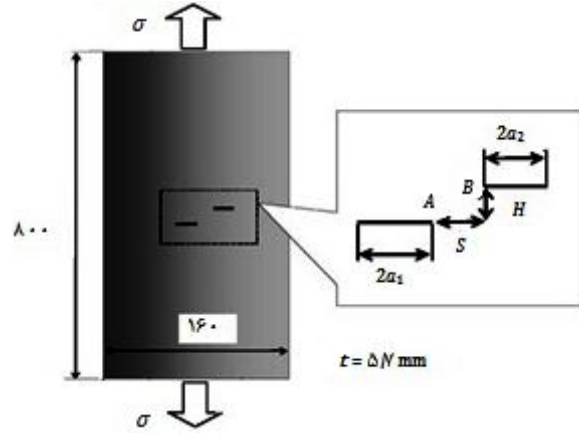
$$\{F_l(r, \theta)\}_{l=1}^4 = \begin{cases} \sqrt{r} \cos \frac{\theta}{2}, \sqrt{r} \sin \frac{\theta}{2} \\ 0, \sqrt{r} \sin \theta \cos \frac{\theta}{2}, \sqrt{r} \sin \theta \sin \frac{\theta}{2} \end{cases} \quad (5)$$

b_k^l درجات آزادی غنی شده (به ترتیب در گرههای المان‌های برش خورده و گرههای المان رأس ترک) است.

براساس آن‌چه در مورد روش المان محدود توسعه یافته گفته شد، در حل مسائل با این روش، دو گام اساسی در نظر گرفته می‌شود.

گام اول: در ابتدا برای شبکه‌بندی، مرز ناپیوستگی از مسئله حذف شده و شبکه‌بندی بدون توجه به ناپیوستگی موجود و تنها براساس هندسه خارجی مسئله صورت می‌گیرد.

گام دوم: پس از تعیین شبکه‌بندی مسئله، مرز ناپیوستگی با شبکه



شکل ۳ مسئله مورد بررسی

جدول ۲ نتایج تست‌های تجربی بر نمونه با دو ترک (اندازه‌ها به میلی‌متر) [۱۶]

ردیف	نام ترک	مسیر رشد	بار شکست P_B (kN)	صفحه S (mm)	فاصله داخل صفحه	فاصله خارج صفحه	طول ترکها H (mm)	قطعه	شماره
۱	خیر	۱۰/۱/۶	۳۰	۳۰				BW-05	
۲	خیر	۱۳۰/۹	۲۰	۲۰	$2a_1=20$			BW-01	
۳	بلی	۱۱۲/۵	۱۵	۱۵	$2a_2=20$			BW-02	
۴	بلی	۱۰۹/۴	۱۰	۱۰				BW-03	
۵	خیر	۱۰۶/۹	۲۰	۲۰				BD-05	
۶	خیر	۱۵۳	۱۵	۱۵	$2a_1=20$			BD-04	
۷	بلی	۱۵۲/۷	۱۰	۱۰	$2a_2=10$			BD-01	
۸	بلی	۱۳۹/۶	۷/۵	۷/۵				BD-02	
۹	خیر	۱۶۶/۹	۱۵	۱۵				BDS-03	
۱۰	خیر	۲۰۱	۱۰	۱۰	$2a_1=20$			BDS-01	
۱۱	بلی	۱۱۶/۳	۵	۵	$2a_2=5$			BDS-02	

در این روش، المان‌بندی ثابت بوده و نیاز به فرایند مش‌بندی دوباره جهت شبیه‌سازی رشد ترک وجود ندارد.

با توجه به فیزیک مسئله، ترک بحرانی، ترک با طول بزرگ‌تر است و پارامترهای نوک ترک نزدیک به ترک دوم، مورد بررسی قرار می‌گیرد. پارامترهای مؤثر بر شکست، فاصله خارج از صفحه دو ترک (H)، فاصله داخل صفحه دو ترک (S)، فاصله دو ترک (D) و طول ترک دوم ($2a_2$) به عنوان متغیر انتخاب گردیده‌اند و تأثیر آن‌ها بر ضرایب شدت تنش و مسیر رشد ترک در قطعه بررسی می‌شود.

نخست اصول روش المان محدود توسعه یافته و چگونگی شبیه‌سازی رشد ترک بررسی می‌شود و سپس تحلیل‌های انجام شده و نتایج آن‌ها ارائه می‌شود.

۴- اصول روش المان محدود توسعه یافته

در روش المان محدود توسعه یافته، تقریب جایه‌جایی از دو قسمت تشکیل می‌شود: قسمت استاندارد (u^{std}) و قسمت غنی شده (u^{enr}). بنابراین u از رابطه (1) به دست خواهد آمد:

$$u = u^{std} + u^{enr} \quad (1)$$

قسمت استاندارد، همان تقریب استفاده شده در روش استاندارد المان محدود است که با رابطه (2) تعریف می‌شود:

هریک از ماتریس‌های فوق ابتدا باید برای هر المان محاسبه شده و سپس برای کل المان‌ها تجمعی گردد. برای یک المان چهارضلعی درجه یک استاندارد، با توجه به رابطه (۸)، اندازه ماتریس سفتی المان 8×8 است. برای المان‌هایی که دارای گره‌های غنی‌شده می‌باشند، بسته به این که تعداد گره‌های غنی‌شده چه تعداد باشد، اندازه ماتریس سفتی متفاوت است. المانی که چهار گره آن با توابع هویسايد غنی شود، اندازه ماتریس سفتی المان 16×16 است و المانی که چهار گره آن با توابع هویسايد غنی شود، اندازه ماتریس سفتی المان 40×40 می‌باشد. این یکی از ویژگی‌های روش المان محدود توسعه یافته است که اندازه ماتریس المان‌ها یکسان نبوده و با توجه به گره‌هایی که غنی می‌شوند، اجزای ماتریس سفتی در طول رشد ترک تغییر می‌کنند.

۶- انتگرال گیری در المان‌های غنی‌شده

یکی از مسائل مهم و پیچیده در روش المان محدود توسعه یافته، انتگرال گیری در المان‌های غنی شده است. برای انتگرال گیری عددی در المان‌های استاندارد، معمولاً از روش انتگرال گیری گوسی^۱ استفاده می‌شود. با استفاده از تعداد نقاط گاووس مناسب (نقاط انتگرال گیری)، این روش برای توابع چندجمله‌ای دقیق است. در توابع چند جمله‌ای از درجه n برای این که انتگرال گیری دقیق باشد، باید تعداد نقاط گاووس بیشتر یا مساوی $\frac{n+1}{2}$ باشد. در این مسأله با توجه به این که توابع شکل المان‌های استاندارد از نوع خطی است، تعداد نقاط گاووس در هر ضلع برابر ۲ در نظر گرفته شده است (۴) نقطه گاووس در هر المان چهارضلعی استاندارد.

از آنجا که در روش المان محدود توسعه یافته، ترک کاملاً به طور دلخواه می‌تواند از داخل المان عبور کند، روش استاندارد فوق، برای انتگرال گیری میدان‌های ناپیوسته در المان‌های غنی‌شده مناسب نیست. در المان‌هایی که کاملاً توسعه ترک قطع شده و با تابع هویسايد غنی شده‌اند، انتگرال گیری عددی باید به طرز صحیح، سهم هر طرف ناپیوستگی را در شکل ضعیف معادلات محاسبه نماید. چنان‌چه از روش استاندارد انتگرال گیری عددی در المان‌های غنی شده با توابع ناپیوسته هویسايد استفاده شود، مودهای منفرد نادرست در سیستم معادلات ظاهر می‌شود. برای انتگرال گیری صحیح، باید انتگرال گیری در چندضلعی‌های دو سوی ترک به طور جداگانه انجام شود. با توجه به این که انتگرال گیری در چندضلعی‌ها (بیش از ۴ ضلع) پیچیده بوده و تاکنون فرمول‌بندی واحدی برای آن ارائه نشده، روش مرسوم این است که برای انتگرال گیری عددی در این المان‌های غنی‌شده، المان‌های فوق به زیرمثلاهایی منطبق بر ترک، تقسیم شده و انتگرال گیری بر این زیرمثلاه‌ها انجام می‌شود. (مطابق شکل (۴)).

همچنین در المان‌های رأس ترک (غنی‌شده با توابع انشعاب)، با توجه به این که انتگرال گیری عددی از توابع منفرد صورت می‌گیرد، باید تعداد نقاط گاووس به ویژه حول راس ترک، افزایش یابد. برای این منظور، المان‌های حاوی رأس ترک، حول راس ترک به زیرمثلاهایی تقسیم شده و انتگرال گیری عددی روی این زیرمثلاه‌ها انجام می‌شود (مطابق شکل (۴)). همچنین با توجه به این که برخی از گره‌های المان‌های مجاور رأس ترک نیز با توابع منفرد، غنی‌سازی شده است، به نظر می‌رسد برای انتگرال گیری دقیق تر در این المان‌ها، نسبت به المان‌های استاندارد، باید تعداد نقاط گاووس افزایش باید. در این المان‌ها تعداد نقاط گاووس مناسب به عنوان یک پارامتر مورد بررسی قرار می‌گیرد.

انتخاب شده در نظر گرفته می‌شود. سپس در المان‌هایی که توسط مرز ناپیوستگی قطع شده و میدان در آن‌ها ناپیوسته است، با کمک روش تقسیم‌بندی واحد و توسط توابع گفته شده، غنی‌سازی صورت می‌گیرد. به نحوی که تقریب جدید، میدان ناپیوسته هریک از این المان‌ها را به درستی مدل کنند.

بدیهی است که موقعیت گره‌ها نسبت به مرز ناپیوستگی باید در هر مرحله از محاسبات تعیین شود. با استفاده از این اطلاعات می‌توان المان‌هایی که توسط مرز ناپیوستگی قطع می‌شوند را تشخیص داده و غنی‌سازی مورد نظر را اجرا داد.

۵- گسسته‌سازی معادلات تعادل

برای یک جسم در حال تعادل استاتیکی، شکل ضعیف معادله تعادل (اصل کار مجازی) به صورت رابطه (۶) نوشتہ می‌شود:

$$\int_{\Omega} \sigma : \delta \varepsilon \, d\Omega = \int_{\Omega} b \cdot \delta \varepsilon \, d\Omega + \int_{\Gamma_t} \bar{t} \cdot \delta \varepsilon \, d\Gamma \quad (6)$$

σ تانسور تنش، b نیروی جسمی و \bar{t} بردار تنش خارجی است. با جای-گذاری تقریب تغییر مکان در روش اجزاء محدود توسعه یافته در شکل ضعیف معادله تعادل، رابطه (۷) به دست می‌آید:

$$Ku^h = f \quad (7)$$

که K ماتریس سفتی، u^h بردار درجات آزادی گرهی (شامل درجات آزادی کلاسیک و غنی‌شده) و f بردار نیروی خارجی است. برای هر المان ماتریس سفتی و نیرو به صورت روابط (۸) و (۹) است:

$$K_{ij}^{uu} = \begin{bmatrix} K_{ij}^{uu} & K_{ij}^{ua} & K_{ij}^{ub} \\ K_{ij}^{au} & K_{ij}^{aa} & K_{ij}^{ab} \\ K_{ij}^{bu} & K_{ij}^{ba} & K_{ij}^{bb} \end{bmatrix} \quad (8)$$

$$f_i^u = \{f_i^u \ f_i^a \ f_i^{b1} \ f_i^{b2} \ f_i^{b3} \ f_i^{b4}\}^T \quad (9)$$

بردار درجات آزادی گرهی و اجزاء ماتریس سفتی و بردار نیرو به صورت روابط (۱۰-۱۴) است:

$$u^h = \{u \ a \ b_1 \ b_2 \ b_3 \ b_4\}^T \quad (10)$$

$$K_{ij}^{rs} = \int_{\Omega^e} (B_i^r)^T D B_j^s \, d\Omega \quad (r, s = u, a, b) \quad (11)$$

$$f_i^u = \int_{\Gamma_t} N_i \bar{t} \, d\Gamma + \int_{\Omega^e} N_i b \, d\Omega \quad (12)$$

$$f_i^a = \int_{\Gamma_t} N_i H \bar{t} \, d\Gamma + \int_{\Omega^e} N_i H b \, d\Omega \quad (13)$$

$$f_i^{ba} = \int_{\Gamma_t} N_i F_a \bar{t} \, d\Gamma + \int_{\Omega^e} N_i F_a b \, d\Omega \quad (14)$$

u درجات آزادی کلاسیک و a, b درجات آزادی غنی شده است. تانسور ضرایب الاستیک است. اجزای این ماتریس برای حالت تنش صفحه‌ای در مراجع مشخص شده است. ماتریس‌های $B_i^r, r = u, a, b$ به صورت زیر تعریف می‌شوند:

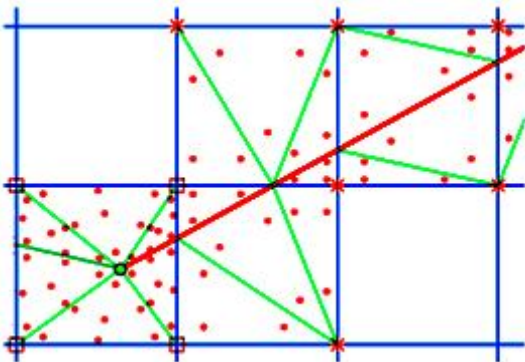
$$B_i^u = \begin{bmatrix} N_{i,x} & 0 \\ 0 & N_{i,y} \\ N_{i,y} & N_{i,x} \end{bmatrix} \quad (15)$$

$$B_i^a = \begin{bmatrix} (N_i H)_{,x} & 0 \\ 0 & (N_i H)_{,y} \\ (N_i H)_{,y} & (N_i H)_{,x} \end{bmatrix} \quad (16)$$

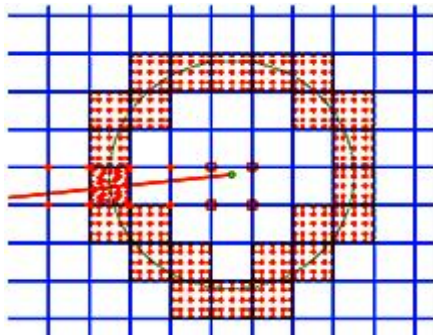
$$B_i^b = [B_i^{b1} \ B_i^{b2} \ B_i^{b3} \ B_i^{b4}] \quad (17)$$

$$B_i^{ba} = \begin{bmatrix} (N_i F_a)_{,x} & 0 \\ 0 & (N_i F_a)_{,y} \\ (N_i F_a)_{,y} & (N_i F_a)_{,x} \end{bmatrix} \quad (18)$$

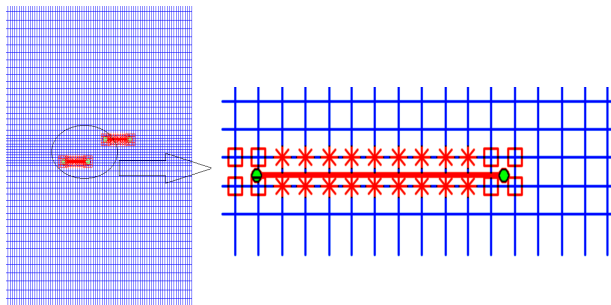
1- Gaussian quadrature



شکل ۴ تقسیم المان‌های غنی شده به زیربخش‌های مثلثی جهت انتگرال‌گیری عددی



شکل ۵ انتخاب المان‌های اطراف ترک برای محاسبه فرم ناحیه‌ای انتگرال تعاملی



شکل ۶ مش‌بندی مسئله مورد بررسی

$$\sigma_{\theta\theta}(r, \theta_c) = \frac{K^{eq}}{\sqrt{2\pi r}} \quad (23)$$

$$K^{eq} = K_I \cos^3\left(\frac{\theta_c}{2}\right) - K_{II} \frac{3}{2} \cos\left(\frac{\theta_c}{2}\right) \sin(\theta_c) \quad (24)$$

در هر گام، برای شروع رشد ترک در حالت مود ترکیبی، باید ضریب شدت تنش مؤثر به ضریب شدت تنش بحرانی یا همان چقرگی شکست ماده، رسد؛ بنابراین برای شروع رشد، رابطه (۲۵) باید برقرار باشد.

$$K^{eq} \geq K_{IC} \quad (25)$$

۸- شبیه‌سازی مسئله با استفاده از روش المان محدود توسعه یافته

برای شبیه‌سازی و تحلیل مسئله شکل ۳ و بررسی پارامترهای مختلف، یک کد کامپیوتری در نرم‌افزار متلب توسعه داده شده است.

مش‌بندی نمونه به صورت منظم انجام شده است و نمونه دارای ۹۴۳۵ المان است. برای بهینه بودن مش، تراکم المان‌ها در نوار میانی ورق و اطراف ترک‌ها بیشتر است (مطابق شکل ۶). برای مش‌بندی مدل‌ها از المان‌های چهارضلعی درجه یک (با توابع شکل لاغرانژی) استفاده شده است.

مزیت بسیار خوب استفاده از روش المان محدود توسعه یافته این است

تعداد نقاط گاؤس در زیرمثلاً های المان‌های غنی شده با تابع هویسايد سه عدد، تعداد نقاط گاؤس در زیرمثلاً های المان‌های غنی شده با توابع انشعاب هفت عدد و تعداد نقاط گاؤس در المان‌های مجاور المان رأس ترک در هر ضلع چهار عدد تعیین شده است.

باید توجه داشت که تقسیم المان‌های غنی شده به زیرمثلاً ها، فقط جهت انتگرال‌گیری عددی انجام می‌شود و هیچ گونه درجه آزادی اضافی به مسئله اضافه نمی‌کند. همچنین مکان گره‌های مسئله و در نتیجه المان‌بندی، در کل طول تحلیل ثابت است.

۷- محاسبه ضرایب شدت تنش و تحلیل رشد ترک

برای محاسبه ضرایب شدت تنش در حالت مود ترکیبی، از روش انتگرال تعاملی^۱ استفاده شده است. در این روش، میدان‌های کمکی به میدان‌های حقیقی تنش، کرنش و جابه‌جایی افزوده می‌شود. در حالت‌هایی که این میدان‌های کمکی به طریق مناسب انتخاب شوند، امکان استخراج ضرایب شدت تنش مود اول و مود دوم به صورت جداگانه فراهم می‌شود. برای کاهش خطأ و افزایش دقت در محاسبه انتگرال‌های کانتوری در روش المان محدود توصیه می‌گردد این انتگرال‌ها به صورت ناحیه‌ای معادل^۲ درآمد و محاسبه گردند. انتگرال تعاملی به شکل ناحیه‌ای به صورت رابطه (۱۹) است.

$$I^{(1,2)} = \int_A \left[\sigma_{ij}^{(1)} \frac{\partial u_i^2}{\partial x_j} + \sigma_{ij}^{(2)} \frac{\partial u_i^1}{\partial x_j} - W^{(1,2)} \delta_{ij} \right] \frac{\partial q}{\partial x_j} dA \quad (19)$$

$q(x)$ یکتابع وزن هموار است که بر یک مسیر در بردارنده رأس ترک مقدار ۱ و بر یک کانتور بیرونی مقدار صفر را می‌گیرد. با استفاده از انتگرال تعاملی، ضرایب شدت تنش مود اول و مود دوم به صورت رابطه (۲۰) محاسبه می‌شود:

$$\begin{cases} K_I^{(1)} = \frac{2}{E} I_1 \text{ (مود ۱)} \\ K_{II}^{(1)} = \frac{2}{E} I_2 \text{ (مود ۲)} \end{cases} \quad (20)$$

جزئیات این روش در مرجع [۲۵] آمده است. برای انجام محاسبات عددی انتگرال فوق، ناحیه A، مجموعه‌ای از المان‌های اطراف رأس ترک در نظر گرفته می‌شود. برای این منظور مرجع [۲۶] پیشنهاد کرده که ابتدا طول مشخصه یک المان رأس ترک (جذر مساحت المان) محاسبه شده و سپس ناحیه A به صورت المان‌هایی که حداقل یک گره در فاصله‌ای معین از رأس ترک دارند، انتخاب می‌شوند. در انجام محاسبات ما فاصله فوق برابر ۳ برابر طول مشخصه المان در نظر گرفته شده است. (مطابق شکل ۵)

معیار ماقزیم تنش مماسی به عنوان معیار شروع و رشد ترک در نظر گرفته شده است. در حالت بارگذاری مود ترکیبی، با صرف نظر از ترم‌های غیرمنفرد، تنش مماسی در اطراف رأس ترک به صورت رابطه (۲۱) است:

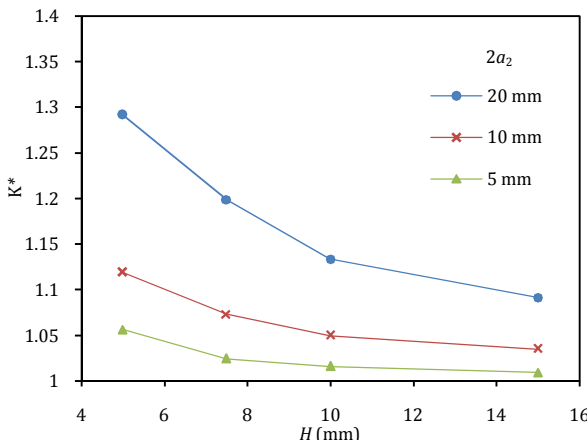
$$\sigma_{\theta\theta} = \frac{1}{\sqrt{2\pi r}} \left[K_I \cos^3 \frac{\theta}{2} - \frac{3}{2} K_{II} \cos \frac{\theta}{2} \sin \theta \right] \quad (21)$$

براساس معیار ماقزیم تنش مماسی، رشد ترک در راستایی رخ می‌دهد که تنش مماسی، ماقزیم باشد. با مشتق گرفتن از رابطه (۲۱) و مساوی صفر فرار دادن آن به رابطه (۲۲) برای زاویه رشد ترک در هر گام می‌رسیم:

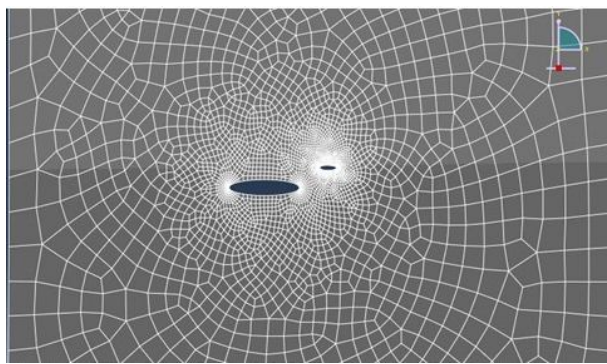
$$\theta_c = 2 \arctan \left[\frac{-2K_{II}/K_I}{1 + \sqrt{1 + 8(K_{II}/K_I)^2}} \right] \quad (22)$$

همچنین براساس این معیار می‌توان روابط (۲۳) و (۲۴) را بین ضریب شدت تنش مؤثر مود ترکیبی و تنش مماسی در نظر گرفت.

1- Interaction integral method
2- Equivalent domain form



شکل ۷ ضریب شدت تنش مود اول بدون بعد نقطه A بر حسب فاصله خارج دو صفحه دو ترک برای طول‌های مختلف ترک ثانویه



شکل ۸ نمایی از مدل تغییر شکل یافته المان محدود در نرم‌افزار آباکوس

برای اعتبارسنجی نتایج تحلیل یاد شده، چندین مدل المان محدود در نرم‌افزار آباکوس ایجاد شده است. دقت شود که برخلاف روش المان محدود توسعه یافته، برای هر حالت باید مدل جداگانه تهیه شده و مشبندی شود. نمایی از یکی از مدل‌های تغییر شکل یافته در نرم‌افزار آباکوس در شکل ۸ نشان داده شده است. این مدل دارای ۱۷۶۵۰ المان است که بسیار بیشتر از المان‌های مدل المان محدود توسعه یافته می‌باشد.

برای مدل‌های مختلف نتایج ضریب شدت تنش مود اول بدون بعد (K*) نقطه A با استفاده از نرم‌افزار آباکوس تعیین شده و در شکل ۹ با نتایج مدل المان محدود توسعه یافته مقایسه شده است. دقت در نتایج، اختلاف کمتر از ۲ درصد در تمام حالات را نشان می‌دهد.

برای در نظر گرفتن اثرات طول ترک ثانویه، پارامترهای H* و S* تعريف شده‌اند و ضرایب شدت تنش بر حسب آن‌ها تعیین می‌شود. در شکل‌های ۱۰، ۱۱ و ۱۲، ضریب شدت تنش بدون بعد نقطه A بر حسب فاصله داخل صفحه بدون بعد (S*) و فاصله خارج صفحه بدون بعد (H*) رسم شده است. در هر یک از این شکل‌ها، طول ترک ثانویه متفاوت است. همان‌طور که از این شکل‌ها مشخص است، شکل کلی منحنی‌ها و مقادیر آن‌ها در سه شکل، تقریباً در یک محدوده قرار دارد و بنابراین پارامترهای بدون بعد تعريف شده، برای توصیف تغییرات ضریب شدت تنش، پارامترهای مناسبی هستند. از این شکل‌ها مشخص است که با کاهش H*، ضریب شدت تنش نقطه A عموماً افزایش پیدا می‌کند. در یک H ثابت با کاهش S*، ابتدا ضریب شدت تنش شدت تنش کاهش می‌یابد و زمانی که نوک دو ترک کاملاً در زیر یکدیگر قرار می‌گیرند، ضریب شدت تنش نقطه A به شدت کاهش می‌یابد.

که در تمام شبیه‌سازی‌هایی که انجام می‌شود از مش ثابت استفاده می‌شود. این مسئله به دلیل این که تعداد تحلیل‌های انجام شده بسیار زیاد است و به خصوص در تحلیل‌های رشد ترک، بسیار مناسب بوده و زمان انجام تحلیل‌ها را بسیار کاهش می‌دهد.

همان‌طور که قبلاً گفته شد، با توجه به فیزیک مسئله، پارامترهای مؤثر بر شکست، فاصله بین دو ترک و طول ترک‌ها است. با توجه به این مسئله، پارامترهای فاصله خارج از صفحه دو ترک (H)، فاصله داخل صفحه دو ترک (S)، فاصله دو ترک (D) و طول ترک دوم (2a₂) به عنوان متغیر انتخاب گردیده‌اند و تأثیر آن‌ها بر ضرایب شدت تنش و مسیر رشد ترک در قطعه بررسی می‌شود.

در این مسئله دو دسته شبیه‌سازی انجام می‌شود: در دسته اول نمونه تحت بار ثابت قرار می‌گیرد و به ازای پارامترهای مختلف، ضرایب شدت تنش در نمونه استخراج می‌شود. در دسته دوم، نمونه تحت بار جابه جایی کنترل قرار می‌گیرد و به ازای پارامترهای مختلف، مسیر رشد دو ترک و به هم‌پیوستگی یا عدم به هم‌پیوستگی آن‌ها بررسی می‌شود.

در این مسئله، طول ترک اول ثابت فرض شده و برابر ۲۰ mm است. طول ترک دوم به عنوان متغیر انتخاب شده و برای طول‌های ۵ mm، ۱۰، ۲۰، ۲۰a₂= ۲۰ تحلیل‌ها انجام می‌شود. همچنین مقادیر مختلف خارج صفحه و داخل صفحه دو ترک در هر یک از این حالات تحلیل می‌شود. با توجه به تأثیر متغیرهای فوق و همچنین با توجه به جدول ۱، برای بررسی پارامتری مسئله، پارامترهای بدون بعد زیر تعریف می‌شوند و ضرایب شدت تنش و مسیرهای رشد ترک برای پارامترهای بدون بعد فوق تحلیل می‌شود:

$$H^* = \frac{H}{2a_2}, S^* = \frac{S}{2a_2}, D^* = \frac{D}{a_1 + a_2}$$

در هریک از طول‌های مختلف ترک ثانویه، مسئله نمونه به ازای

$$H^* = 1/5, 1/10, 1/20, 1/40, 1/80, 1/160, 1/320, 1/640, 1/1280$$

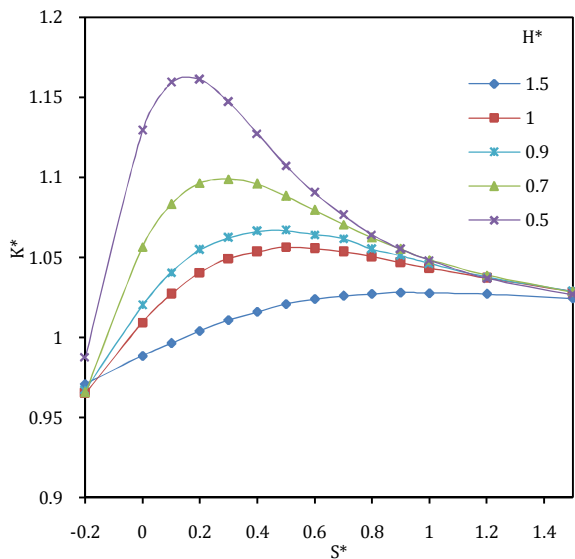
مورود تحلیل قرار می‌گیرد.

نقطه A به عنوان بحرانی ترین نوک ترک و نوک ترک B (مطابق شکل ۳) مورد بررسی قرار می‌گیرد. عبارات بدون بعد زیر به عنوان نتایج تحلیل دسته اول است:

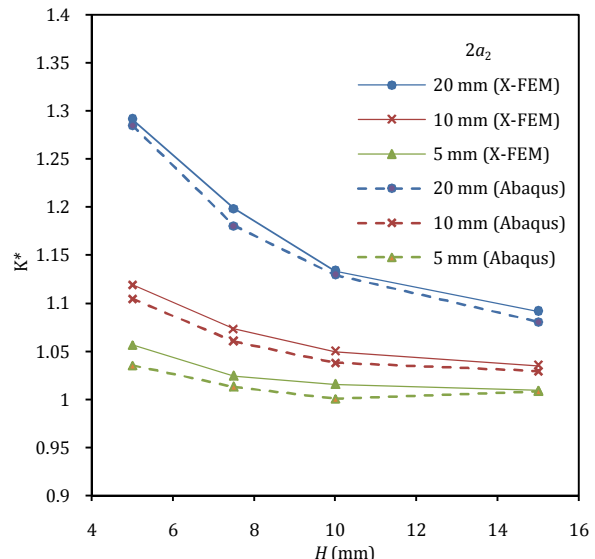
$$K^* = \frac{K_l}{K_0}$$

$2a_1 = 20\text{ mm}$ ضریب شدت تنش صفحه فوق با تنها یک ترک و با طول $2a_2$ است؛ بنابراین پارامتر K^* میزانی از افزایش ضریب شدت تنش نوک ترک بحرانی در صفحه با دو ترک نسبت به صفحه با تنها یک ترک است و بیان گر میزان تأثیر دو ترک است.

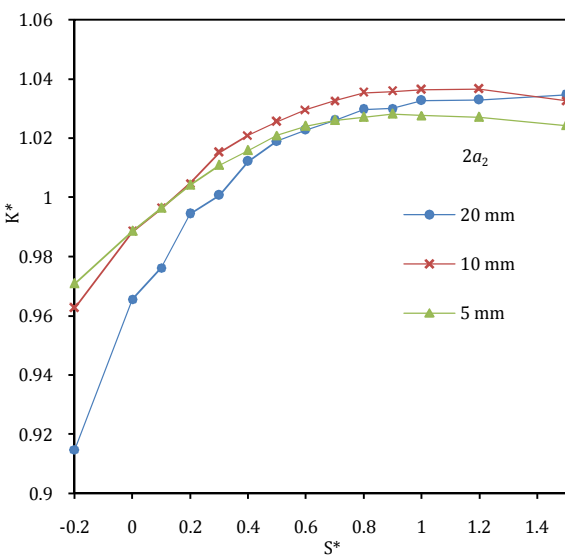
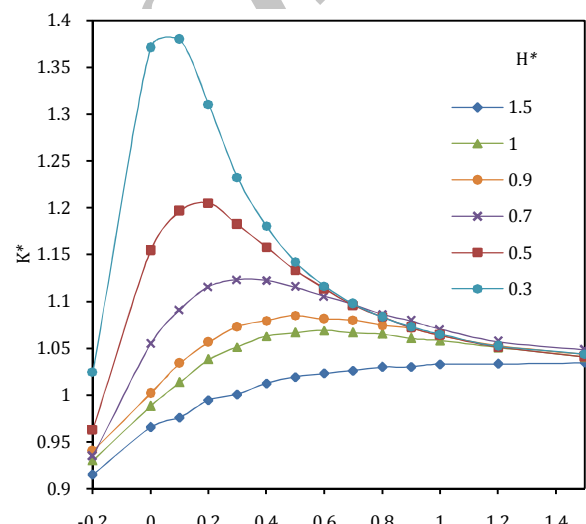
در شکل ۷ ضریب شدت تنش مود اول بدون بعد (K*) نقطه A بر حسب فاصله خارج دو صفحه دو ترک (H) برای طول‌های مختلف ترک ثانویه (2a₂) رسم شده است. همان‌طور که در شکل دیده می‌شود، هم مقدار ضریب شدت تنش نقطه A بر حسب طول ترک ثانویه متفاوت است و هم میزان افزایش ضریب شدت تنش با کاهش فاصله عمودی در طول ترک‌های ثانویه مختلف، خیلی فرق می‌کند، بطوریکه در طول ترک ثانویه ۲۰ میلی‌متر، با کاهش فاصله عمودی دو ترک از ۱۵ به ۵ میلی‌متر، ضریب شدت تنش نقطه A حدود ۲۰ درصد افزایش می‌یابد، در حالی که با طول ترک ثانویه ۵ میلی‌متر، این افزایش حدود ۵ درصد است؛ بنابراین می‌توان نتیجه گرفت که شروط هم‌راستایی و ترکیب ترک‌های مجاور هم به طول ترک کوچک‌تر بستگی دارد و استانداردهایی مانند استاندارد انجمان مهندسان مکانیک آمریکا که شرط هم‌راستایی را یک عدد ثابت در نظر می‌گیرند، نمی‌تواند مناسب باشد.



شکل ۱۲ ضریب شدت تنش مود اول بدون نقطه A



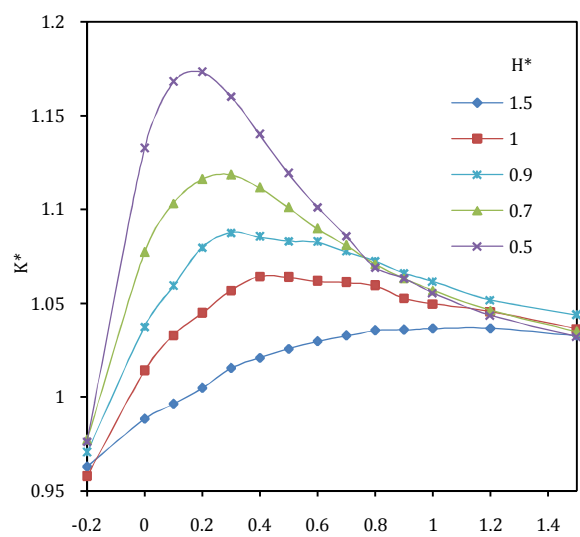
شکل ۹ مقایسه نتایج ضریب شدت تنش مود اول بدون نقطه A برای تحلیلهای المان محدود توسعه یافته و المان محدود (آباکوس)

شکل ۱۳ مقایسه ضریب شدت تنش مود اول بدون نقطه A برای طول های مختلف طول ترک ثانویه در حالت $H^*=1/5$ 

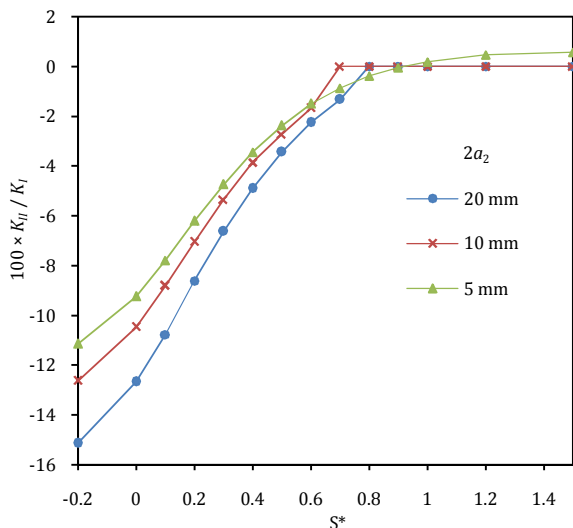
شکل ۱۰ ضریب شدت تنش مود اول بدون نقطه A

نکته مهم دیگر، این است که در H^* های بزرگ، هرچه فاصله داخل صفحه دو ترک (S^*) کاهش یابد، باز هم ضریب شدت تنش از یک حد مشخصی تجاوز نمی کند. برای نمونه بر طبق شکل ۱۳ در $H^*=1/5$ ، ضریب شدت تنش نسبت به صفحه با یک ترک، حداقل حدود ۴ درصد افزایش پیدا می کند. همچنین طبق شکل ۱۴ در $H^*=1/10$ افزایش ضریب شدت تنش نسبت به صفحه با یک ترک، حداقل حدود ۷ درصد است. بیشینه افزایش ضریب شدت تنش نیز در حالتی رخ می دهد که طول دو ترک برابر باشد. طبق شکل ۱۵ در $H^*=0/9$ حداقل افزایش ضریب شدت تنش در طول ترک ثانویه $2a_2=20\text{ mm}$ برابر $2a_2=10\text{ mm}$ درصد و در طول ترک ثانویه $2a_2=5\text{ mm}$ حدود ۸ درصد و در طول ترک ثانویه $2a_2=5\text{ mm}$ حدود ۶/۵ درصد است.

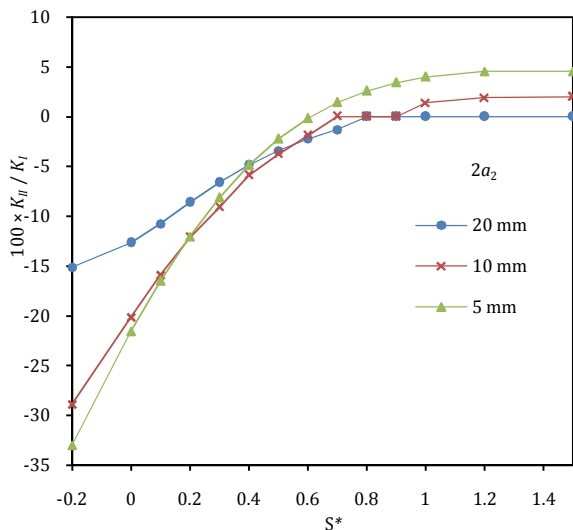
مسئله دیگر در رشد ترک ها و بهم پیوستگی آن ها این است که هر چه نسبت مود دوم شکست به مود اول بیشتر باشد، زاویه رشد ترک از حالت افقی به سمت ترک دیگر، بیشتر تغییر کرده و امکان بهم پیوستگی دو ترک بیشتر و سریع تر اتفاق می افتد. با توجه به این که شکست در این مسئله از نوع شکست ترد است و شکست به سرعت در قطعه رخ می دهد، زاویه رشد ترک



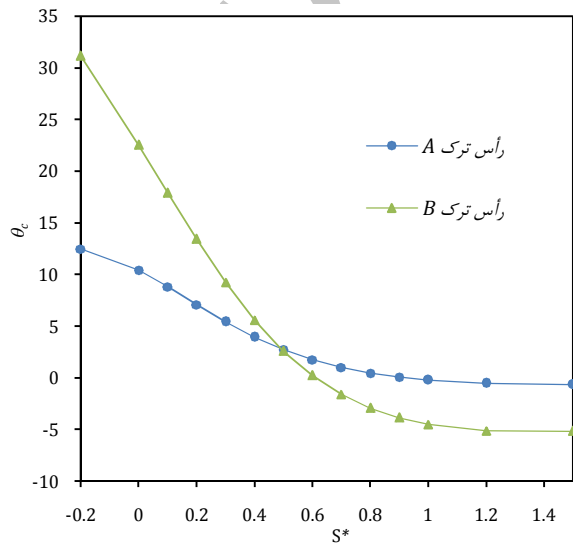
شکل ۱۱ ضریب شدت تنش مود اول بدون نقطه A



شکل ۱۶ نسبت ضریب شدت تنش مود دوم به مود اول در نوک ترک A بر حسب فاصله داخل صفحه دو ترک ($H^* = 0.9$)



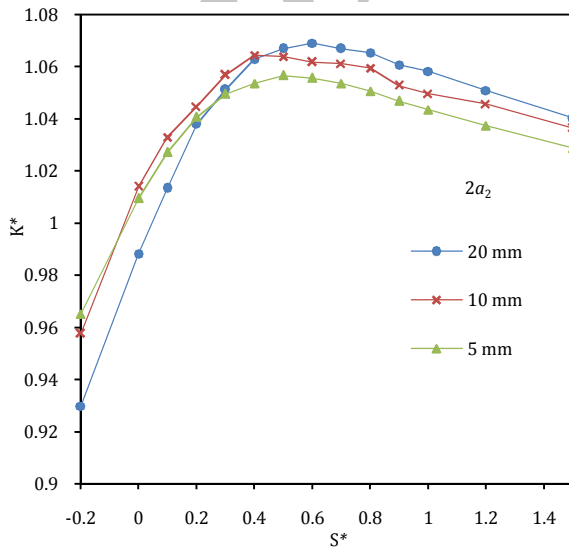
شکل ۱۷ نسبت ضریب شدت تنش مود دوم به مود اول در نوک ترک B بر حسب فاصله داخل صفحه دو ترک ($H^* = 0.9$)



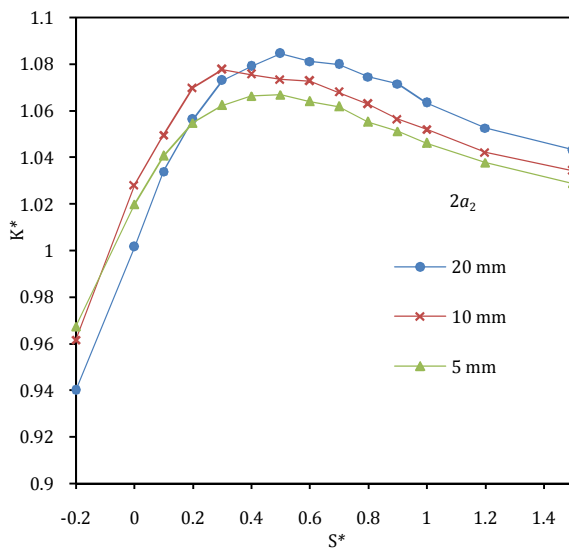
شکل ۱۸ زاویه شروع رشد ترک بر حسب فاصله داخل صفحه دو ترک
($2a_2 = 5\text{mm}$ $H^* = 0.9$)

در ابتدای شکست قطعه از اهمیت خاصی برخوردار است و در بهم پیوستگی ترک‌ها مؤثر است.

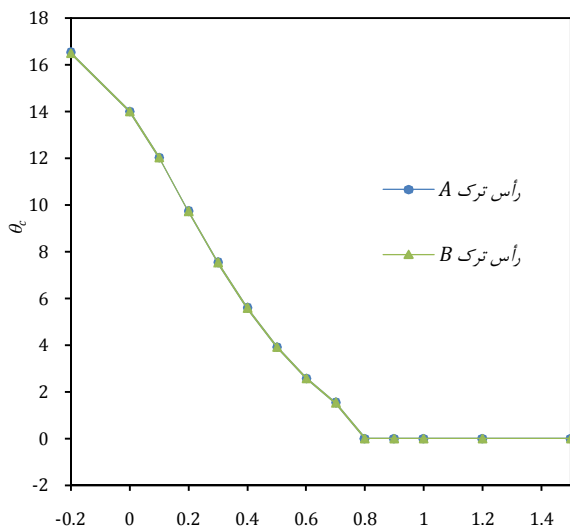
در شکل‌های ۱۶ و ۱۷ نسبت ضریب شدت تنش مود دوم به مود اول برای نوک ترک‌های A و B (مطابق شکل ۳) در یک فاصله عمودی مشخص ترک‌ها، استخراج شده است. این نسبت برای طول‌های مختلف ترک ثانویه ترسیم شده است. همان‌طور که در شکل‌ها دیده می‌شود در فاصله‌های بزرگ‌تر افقی دو ترک، نسبت مود دوم به مود اول بسیار کم و در حد صفر است؛ بنابراین شکست دو ترک به صورت مود اول خواهد بود و احتمال بهم پیوستگی آن‌ها بسیار کم است. هرچه فاصله داخل صفحه دو ترک (S^*) کاهش می‌یابد، نسبت مود دوم در هر دو نوک ترک افزایش می‌یابد؛ بنابراین احتمال بهم‌پیوستگی آن‌ها افزایش می‌یابد. از این شکل‌ها مشخص است که برای $S^* > 0.8$ نسبت مود دوم به اول بسیار کم است و می‌توان از آن صرف‌نظر نمود. برای حالتی که طول ترک ثانویه کوچک‌تر از ترک اول باشد، درصد افزایش مود دوم به مود اول، در نوک ترک B نسبت به نوک ترک A بیشتر است.



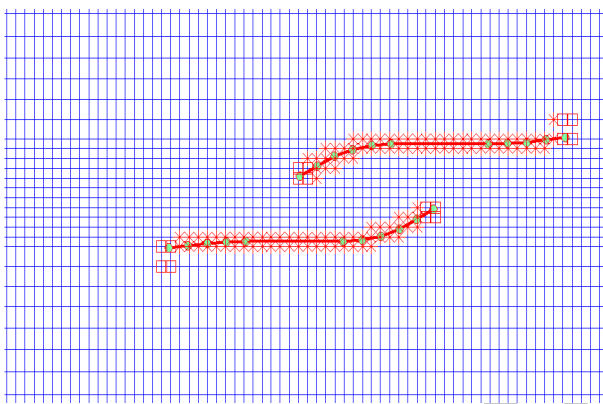
شکل ۱۴ مقایسه ضریب شدت تنش مود اول بدون بعد نقطه A برای طول‌های مختلف طول ترک ثانویه در حالت $H^* = 1.0$



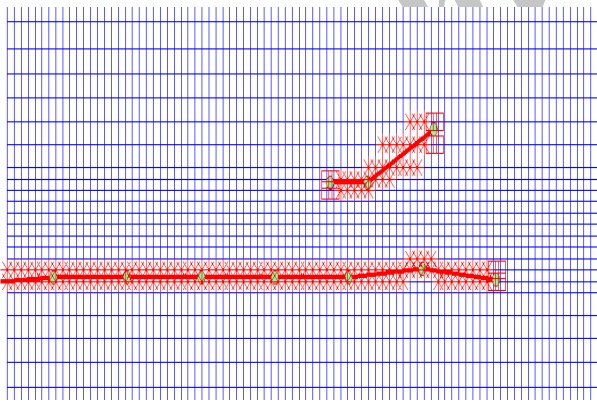
شکل ۱۵ مقایسه ضریب شدت تنش مود اول بدون بعد نقطه A برای طول‌های مختلف طول ترک ثانویه در حالت $H^* = 0.9$



شکل ۲۰ زاویه شروع رشد ترک بر حسب فاصله داخل صفحه دو ترک
($2a_2 = 20 \text{ mm}$ $H^* = 0/9$)



شکل ۲۱ نحوه رشد ترک در نمونه $2a_2 = 20 \text{ mm}$, $S^* = 0/5$, $H^* = 0/9$



شکل ۲۲ نحوه رشد ترک در نمونه $2a_2 = 5 \text{ mm}$, $S^* = 1/5$, $H^* = 1/5$

با مقایسه نتایج تحلیل‌های رشد ترک با نتایج تست‌های تجربی مراجع ۱۵ و ۱۶ (جدول ۲)، مشاهده می‌شود که در تمام نمونه‌ها به غیر از BDS-02 مسیر رشد ترک‌ها و بهم پیوستگی یا عدم بهم پیوستگی آن‌ها، در تحلیل‌های عددی و تجربی مطابقت دارد که نشان می‌دهد نتایج تحلیل‌ها به واقعیت نزدیک است.

با توجه به این که برخی استانداردها از فاصله دو ترک (D) به عنوان معیار هم راستایی و ترکیب ترک‌ها استفاده کرده‌اند، ضریب شدت تنش بدون بعد در شکل ۲۳ رسم شده است.

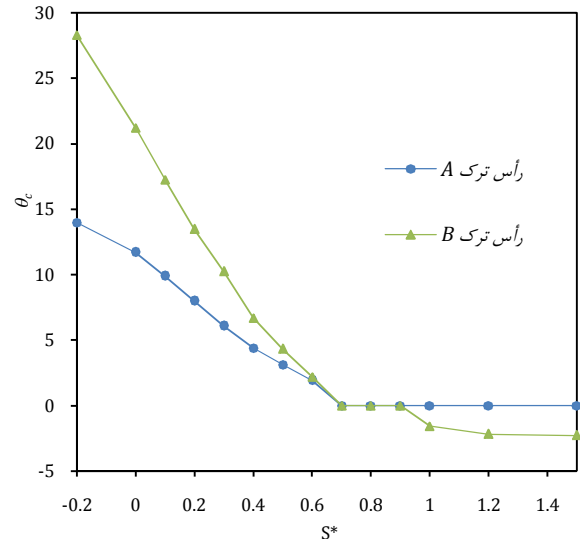
$$\text{D}^* = \frac{D}{a_1 + a_2}$$

زاویه رشد ترک در آغاز شکست، با استفاده از رابطه (۲۲) بدست می‌آید. این زاویه به نسبت مود دوم به مود اول بستگی دارد. در شکلهای ۱۸ تا ۲۰ زاویه شروع رشد ترک بر حسب فاصله داخل صفحه دو ترک (S^*) برای طول‌های مختلف ترک ثانویه و در نوک ترک‌های A و B ترسیم شده است. همان‌طور که مشاهده می‌شود در ترک‌های غیرمساوی، زاویه شروع رشد ترک در نوک ترک B بیشتر است. البته نوک ترک A بحرانی‌تر است و ابتدا شروع شکست در قطعه از این نقطه، اتفاق می‌افتد.

برای بررسی دقیق مسئله، در حالات مختلف نمونه بهازی $H^* = 1/5$, $1/6$, $0/9$, $0/7$, $0/5$, $0/2$, $0/3$, $0/4$, $0/5$, $0/6$, $0/7$, $0/8$, $0/9$, $1/2$, $1/3$, $1/4$, $1/5$, $1/6$, $1/7$, $1/8$, $1/9$, $1/10$, $1/12$, $1/15$ در نمونه‌های مختلف با استفاده از شبیه‌سازی المان محدود توسعه یافته و براساس روابط ارائه شده در بخش ۷ تعیین می‌شود. باید در نظر داشت که براساس نتایج تحلیل‌های انجام شده، در حالتی که طول ترک‌ها مساوی نباشد، ضریب شدت تنش مؤثر در نوک ترک A (نوک ترک بزرگ‌تر و نزدیک به ترک دیگر) در تمامی نمونه‌ها بیشتر بوده و آغاز شکست در نمونه‌ها از این نوک ترک شروع می‌شود.

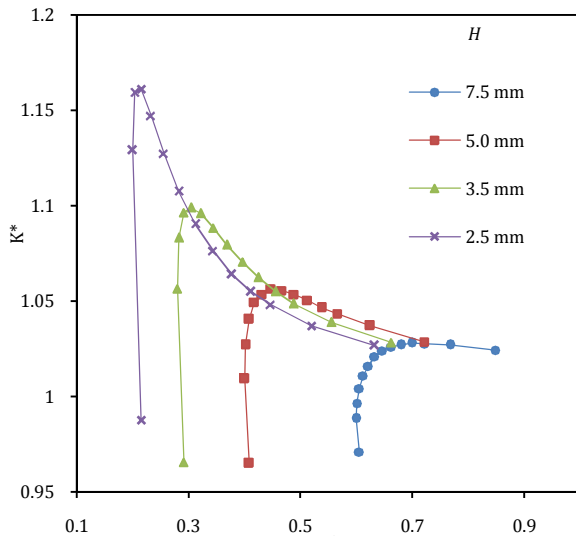
دو نمونه از شبیه‌سازی‌های رشد ترک در شکلهای ۲۱ و ۲۲ نشان داده شده است. در نمونه اول با مشخصات $2a_2 = 20 \text{ mm}$, $S^* = 0/5$, $H^* = 0/9$ مشاهده می‌شود که دو ترک به سمت یکدیگر حرکت می‌کنند و بهم می‌پیوندند. در نمونه دیگر با مشخصات $2a_2 = 5 \text{ mm}$, $S^* = 1/5$, $H^* = 1/5$ مشاهده می‌شود که با وجود شکست قطعه، دو ترک به یکدیگر متصل نمی‌شوند. به طور کل و بر اساس شبیه‌سازی‌های انجام شده، می‌توان گفت که در نمونه‌هایی که افزایش ضریب شدت تنش نسبت به صفحه تنها با یک ترک بیشتر از حدود ۷ درصد بوده و درصد ضریب شدت تنش مود دوم نسبت به مود اول در نوک ترک بیشتر از یک درصد باشد، ترک‌ها در مسیر رشد بهم می‌پیوندند.

با توجه به شکلهای ۱۰ تا ۱۲ و ۱۶ می‌توان نتیجه گرفت که در طول ترک‌های برابر ($2a_1 = 2a_2$) در کلیه حالاتی که $1 \leq S^* \leq 1$, $H^* = 1/5$ است، شرایط بهم پیوستگی ترک‌ها محقق می‌شود. در حالاتی که $2a_1 \neq 2a_2$ ، عموماً در حالاتی که $H^* < 1$, $S^* < 1$ ترک‌ها در مسیر رشد بهم می‌پیوندند.



شکل ۱۹ زاویه شروع رشد ترک بر حسب فاصله داخل صفحه دو ترک
($2a_2 = 10 \text{ mm}$ $H^* = 0/9$)

- [5] WES, *WES 2805: Methods of Assessment for Defects in Fusion welded Joints with Respect to Brittle Fracture and Failure due to Fatigue Crack Growth*, The Japan Welding Engineering Society, 1997.
- [6] CS, *GB/T19624: Safety Assessment for In-Service Pressure Vessels Containing Defects*, Chinese Standards, 2004.
- [7] EUROPEAN FITNESS FOR SERVICE NETWORK, *FITNET Fitness-for-Service (FFS)- Procedure*, Eds. M. Koçak, S. Webster, JJ. Janosch, R.A. Ainsworth, R. Koers, 2008.
- [8] Commissariat a L'Energie Atomique, *A16: Guide for Defect Assessment and Leak Before Break Analysis*, 2002.
- [9] FKM, *Fracture Mechanics Proof of Strength for Engineering Components*, Forschungskuratorium Maschinenbau (FKM), 2004.
- [10] AFCEC, *RSE-M: Inservice Inspection Rules for the Mechanical Components of PWR Nuclear Islands*, French Association for design, construction and in-service inspection rules for nuclear island components, 2005.
- [11] British Energy Generation Ltd., *R6: Assessment of the Integrity of Structures Containing Defects*, 2006.
- [12] BWRVIP-158: *BWR Vessel and Internals Project, Flaw Proximity Rules for Assessment of BWR Internals*, Vol. 1014387, Electric Power Research Institute (EPRI), Palo Alto, CA, pp. 2006.
- [13] S. Konosu, Assessment Procedure for Multiple Cracklike Flaws in Failure Assessment Diagram (FAD), *Journal of Pressure Vessel Technology*, Vol. 131, No. 4, pp. 041402, 2009.
- [14] S. Konosu, K. Kasahara, Multiple Fatigue Crack Growth Prediction Using Stress Intensity Factor Solutions Modified by Empirical Interaction Factors *Journal of Pressure Vessel Technology*, Vol. 134, No. 1, pp. 011404, 2012.
- [15] K. Hasegawa, K. Saito, K. Miyazaki, Alignment Rules for Non-Aligned Flaws at LEFM Evaluation Procedures, in *2006 ASME Pressure Vessels and Piping Division Conference*, Vancouver, BC, Canada, 2006.
- [16] K. Hasegawa, K. Saito, K. Miyazaki, Alignment Rule for Non-Aligned Flaws for Fitness-for-Service Evaluations Based on LEFM, *Journal of Pressure Vessel Technology*, Vol. 131, No. 4, pp. 041403, 2009.
- [17] A. Carpinteri, R. Brighenti, S. Vantadori, A numerical analysis on the interaction of twin coplanar flaws, *Engineering Fracture Mechanics*, Vol. 71, No. 4-6, pp. 485-499, 2004.
- [18] F.-Z. Xuan, J. Si, S.-T. Tu, Rules for the Assessment of Interacting Cracks Under Creep Conditions, *Journal of Pressure Vessel Technology*, Vol. 132, No. 1, pp. 011405, 2010.
- [19] K. Miyazaki, K. Hasegawa, K. Saito, B. Bezensek, Experimental Study of Ductile Fracture for Non-Aligned Multiple Flaws in a Plate, in *ASME 2009 Pressure Vessels and Piping Conference*, Prague, Czech Republic, 2009, pp. 187-198.
- [20] K. Hasegawa, K. Miyazaki, K. Saito, B. Bezensek, Evaluation of Alignment Rules Using Stainless Steel Pipes With Non-Aligned Flaws, in *ASME 2009 Pressure Vessels and Piping Conference*, Prague, Czech Republic, 2009, pp. 287-298.
- [21] K. Suga, M. Kikuchi, S. Kawasaki, Simulation of Ductile Fracture of Multiple Flaws, *Journal of Pressure Vessel Technology*, Vol. 134, No. 3, pp. 031205, 2012.
- [22] J.-H. KIM, N.-H. KIM, K. Hasegawa, K. Miyazaki, Ductile fracture simulation of 304 stainless steel pipes with two circumferential surface cracks, *Fatigue & Fracture of Engineering Materials & Structures*, Vol. 36, No. 10, pp. 1067-1080, 2013.
- [23] M. Kamaya, A Combination Rule for Circumferential Surface Cracks on Pipe Under Tension Based on Limit Load Analysis, *Journal of Pressure Vessel Technology*, Vol. 133, No. 2, pp. 021205, 2011.
- [24] J. F. Yau, S. S. Wang, H. T. Corten, A Mixed-Mode Crack Analysis of Isotropic Solids Using Conservation Laws of Elasticity, *Journal of Applied Mechanics*, Vol. 47, No. 2, pp. 335-341, 1980.
- [25] J. Dolbow, N. Moës, T. Belytschko, Discontinuous enrichment in finite elements with a partition of unity method, *Finite Elements in Analysis and Design*, Vol. 36, No. 3-4, pp. 235-260, 2000.
- [26] N. Moës, J. Dolbow, T. Belytschko, A finite element method for crack growth without remeshing, *International Journal for Numerical Methods in Engineering*, Vol. 46, No. 1, pp. 131-150, 1999.



شکل ۲۳ ضریب شدت تنش مود اول بدون بعد نقطه A بر حسب فاصله بدون بعد

براساس استانداردهایی مانند استاندارد بریتانیا (BS) 7910 (2010) چنان‌چه $D^* \leq 1$ باشد، شرط هم راستایی دو ترک ارضاء می‌شود. با توجه به نتایج به دست آمده، مشاهده می‌گردد که در برخی نمونه‌هایی که $D^* \leq 1$ است، درصد افزایش ضریب شدت تنش بسیار کمتر از ۶ درصد است و در شبیه‌سازی روش ترک در این نمونه‌ها نیز دو ترک بهم نمی‌پیوندد؛ بنابراین می‌توان گفت این معیار، محافظه کارانه است.

۹- نتیجه‌گیری

در پژوهش حاضر، ابتدا قوانین هم راستایی و ترکیب استانداردهای مختلف برای دو ترک را بدین ترتیب بررسی گردید. سپس برای بررسی تأثیر و برهمنکش ترک‌های مجاور، شکست یک ورق با دو ترک را بدین ترتیب در مجاورت هم، با استفاده از روش المان محدود توسعه یافته شبیه‌سازی شده و تأثیر فواصل ترک‌ها و اندازه آن‌ها بر ضرایب شدت تنش بررسی شد. با توجه به نتایج ارائه شده، شرط هم راستایی دو ترک در حالت شکست خطی، به صورت $H < \min(2a_1, 2a_2)$ برای $2a_1 \neq 2a_2$ و $2a_1 = 2a_2$ برای $H \leq 2a_1$ پیشنهاد می‌گردد. همچنین شرط ترکیب دو ترک در حالت شکست خطی خطی، به صورت $S < \min(2a_1, 2a_2)$ برای $2a_1 \neq 2a_2$ و $2a_1 = 2a_2$ برای $S \leq 2a_1$ پیشنهاد می‌شود.

۱۰- مراجع

- [1] ASME, Boiler and Pressure Vessel Code Section XI, *Rules for Inservice Inspection of Nuclear Power Plant Components*, American Society of Mechanical Engineers, 2010.
- [2] JSME, *Codes for Nuclear Power Generation Facilities: Rules of Fitness for Service for Nuclear Power Plants*, Japan Society of Mechanical Engineers, 2004.
- [3] BS, *BS 7910: Guide to Method for Assessing the Acceptability of Flaws in Metallic Structures*, British Standards Institution, 2005.
- [4] API, *API 579-1/ASME FFS-1: Fitness-for-Service*, American Petroleum Institute, 2007.